MAPA GEOLOGICO DE ESPAÑA
E. 1:50.000

INSTITUTO GEOLOGICO Y MINERO DE ESPAÑA

VIGO 223 / 4-11

LEYENDA DEL MAPA DE MUESTRAS

- Punto toma de muestra
- Fotografía puntual
- Fotografía panorámica y ángulo abarcado
- Estaciones del 1 al 500 especialista A.H.

CUATERNARIO	Q	Q_M	Qcd	Q_P	Q_{FL}	Q_D	0 Q	Depósitos detríticos coluvio-eluviales
							1 Q_M	Sedimentos de marisma y de plataforma inferidal
							2 Qcd	Cono de deyección
							3 Q_P	Arenas de playa
							4 Q_{FL}	Flecha litoral
							5 Q_D	Dunas
COMPLEJO CABO D' HOME – LA LANZADA							6 PC-S	Esquistos, pizarras y paragneises
PRECAMBRICO – SILURICO	PC-S						7 PC-Sq	Cuarcitas
							8 $\mathcal{E}_A$	Anfibolitas y capas calcosilicatadas

ROCAS METAMORFICAS

- 9 $P_b^{2,3}$ — Pizarras con plagioclasa y biotita y micaesquistos
- 10 N_G^2 — Gneis glandular de grano muy grueso
- 11 N_{GB}^2 — Gneis glandular de grano medio
- 12 P_{Pb}^2 — Gneis de biotita
- 13 P_{Rb}^2 — Gneis de riebeckita

ROCAS IGNEAS

GRANITOS DE AFINIDAD ALCALINA

- 14 γ^2 — Granito de feldespato alcalino
- 15 γ_b^2 — Granito de feldespato alcalino con grandes biotitas ("tipo de Hyelo")

GRANITOIDES DE AFINIDAD CALCOALCALINA

a/ Serie precoz

- 16 $T\eta_G^2$ — Microgranodiorita y cuarzodiorita
- 17 $\gamma\eta^2$ — Granodiorita con megacristales feldespáticos
- 18 $\gamma\eta_{Pb}^2$ — Granito y granodiorita biotíticas
- 19 γ_m^2 — Granito moscovítico y aplítico

b/ Serie tardía

- 20 $_2\gamma\eta^{2,3}$ — Granodiorita y granito biotítico-anfibólicos/ricos de grano grueso
- 21 $_2\gamma^{2,3}$ — Granito inequigranular de grano grueso
- 22 $_2\gamma_f^{2,3}$ — Granito leucofeldespático de grano grueso

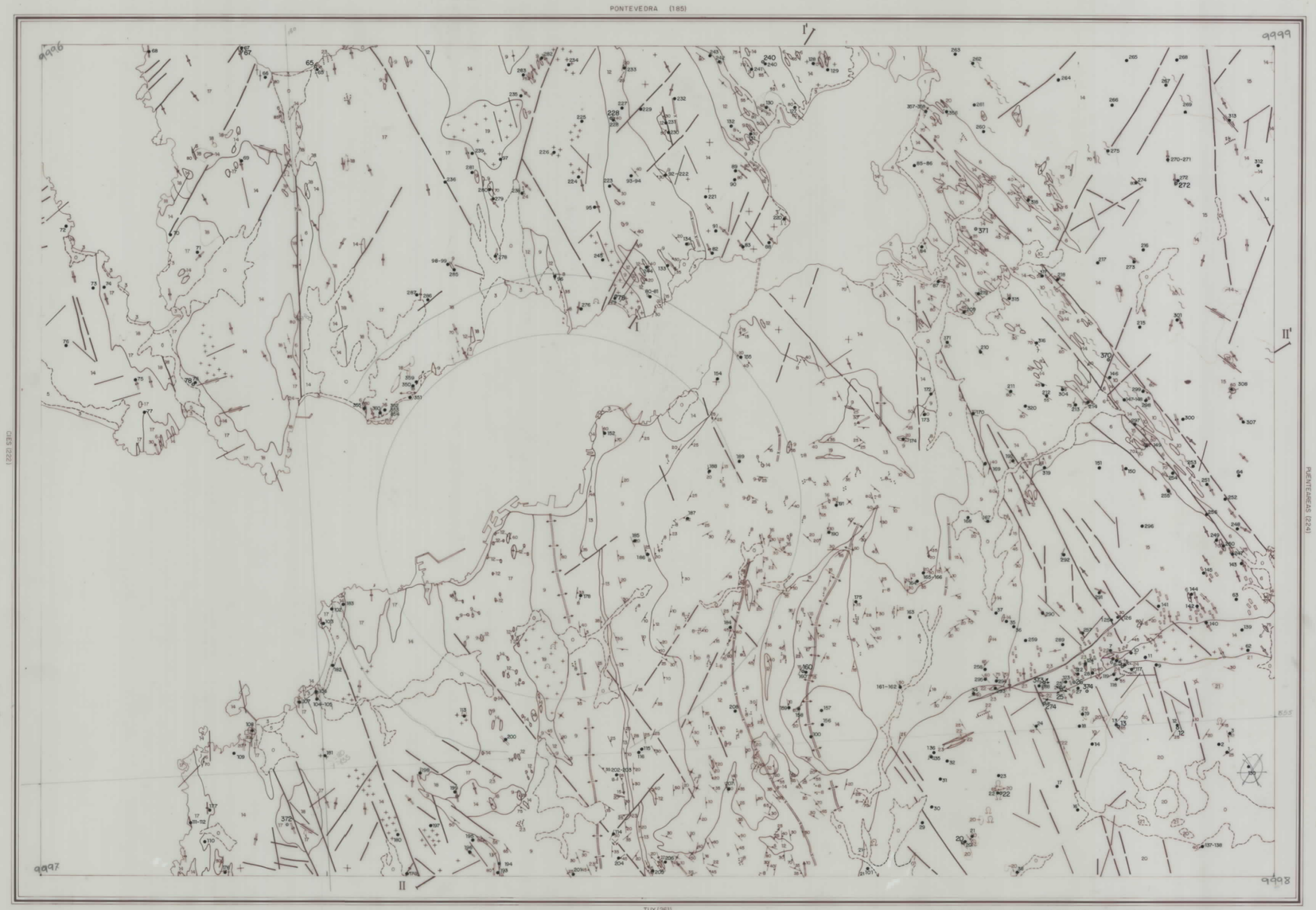
ROCAS FILONIANAS

- 23 Fq — Diques de cuarzo
- 24 Fp — Pegmatitas y aplitas

SIGNOS CONVENCIONALES

- CONTACTO DISCORDANTE
- CONTACTO MECANICO Y/O INTRUSIVO
- CONTACTO MECANICO SUPUESTO
- CONTACTO DIFUSO EN ROCAS IGNEAS
- ESQUISTOSIDAD DE FASE I, DIRECCION Y BUZAMIENTO
- ESQUISTOSIDAD DE FASE I, SUBHORIZONTAL
- ESQUISTOSIDAD DE FASE II, DIRECCION Y BUZAMIENTO
- FOLIACION MAGMATICA PRIMARIA, DIRECCION Y BUZAMIENTO
- FOLIACION MAGMATICA PRIMARIA, SUBHORIZONTAL
- FOLIACION MAGMATICA PRIMARIA, VERTICAL
- FOLIACION CATACLASTICA DE FASE II, DIRECCION Y BUZAMIENTO
- FOLIACION CATACLASTICA DE FASE II, SUBVERTICAL
- TRAZA AXIAL DE SINCLINAL DE FASE II
- TRAZA AXIAL DE ANTICLINAL DE FASE II
- EJE DE PLIEGUE DE FASE II
- FALLA O FRACTURA
- FALLA CON INDICACION DE CORRIMIENTO
- FALLA SUPUESTA
- DIACLASAS, DIRECCION DOMINANTE
- LINEACION DE ENCLAVES O GABARROS DEFORMADOS
- LINEACION DE INTERSECCION L_{1-2}
- LINEACION DE INTERSECCION L_{1-2} SUBHORIZONTAL
- CATACLASIS EN ROCAS IGNEAS
- DIQUES O CAPAS DE PEQUEÑA POTENCIA
- FACIES DE GRANO MEDIO A GRUESO EN ROCAS IGNEAS
- FACIES DE GRANO MEDIO A FINO EN ROCAS IGNEAS
- FACIES DE MEGACRISTALES EN ROCAS IGNEAS
- ESTRUCTURAS MIGMATITICAS
- MINA ABANDONADA
- CANTERA

PONTEVEDRA (185)



TUY (261)

OLEIROS (224)

REPETIDAS (224)

NORMAS, DIRECCION Y SUPERVISION DEL IGME. Autor: GEOTEHC, S.A. RUBIO NAVAS J. Asesor: CORRETGE L.G. Univ. de Salamanca

Escala 1:50.000

Las altitudes se refieren al nivel medio del Mediterraneo en Alicante
Cuadrículo Lambert—Equidistancia de las curvas de nivel 20 metros
Proyección U.T.M.—Elipsoide Internacional

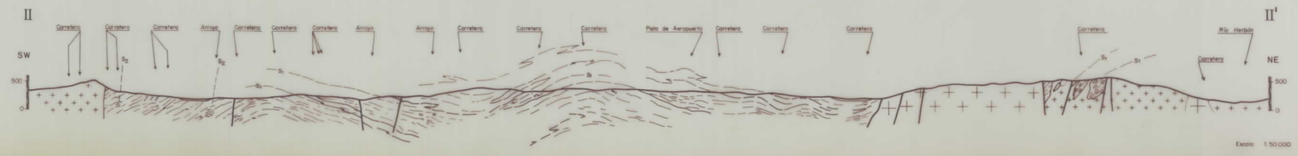
COMPOSICION QUIMICA DE LAS PRINCIPALES FORMACIONES

FACIES	R. METAMORFICAS		R. IGNEAS						
	P_b^2	P_{Rb}^2	γ^2	γ_b^2	η_1^2	$\gamma\eta^2$	$\gamma\eta_1^2$	$_2\gamma\eta^{2,3}$	$_2\gamma^{2,3}$
Nº de muestras	4	2	12	4	1	1	1	6	8
	$\bar{x}$ s	$\bar{x}$ s	$\bar{x}$ s	$\bar{x}$ s	—	—	—	$\bar{x}$ s	$\bar{x}$ s
Si O_2	73,83 2,18	72,22 10,95	73,32 1,09	73,53 0,47	63,97	70,16	68,79	71,64 1,34	72,95 2,45
Ti O_2	0,20 0,21	0,41 0,40	0,20 0,07	0,25 0,12	0,98	0,24	0,34	0,35 0,15	0,22 0,13
Al_2O_3	12,39 2,10	14,54 2,84	14,48 1,92	13,41 0,35	13,55	14,80	16,16	14,47 0,63	13,94 1,01
Fe_2O_3*	2,18 0,96	5,12 2,31	1,71 0,65	1,93 0,37	5,69	2,19	2,32	2,76 0,42	2,43 0,51
Mg O	0,30 0,20	1,56 2,06	0,26 0,11	0,27 0,08	4,01	0,56	1,14	0,37 0,20	0,31 0,12
Mn O	0,02 0,01	0,06 0,05	0,026 0,01	0,01 0,01	0,08	0,02	0,03	0,04 0,01	0,02 0,01
Ca O	0,82 0,72	0,81 0,71	0,51 0,27	0,37 0,12	4,14	1,54	1,32	1,48 0,18	0,80 0,50
Na_2O	3,21 0,51	3,12 0,70	2,70 0,64	2,54 0,37	2,09	3,14	2,97	3,55 0,11	2,97 0,40
K_2O	3,87 0,68	3,70 0,54	5,08 0,60	5,36 0,39	3,09	5,86	5,01	4,85 0,11	4,95 0,55
P_2O_5	0,07 0,05	0,16 0,10	0,09 0,04	0,09 0,05	0,10	0,13	0,01	0,09 0,04	0,10 0,06
M. V.	2,68 1,86	1,14 0,13	1,52 0,46	1,86 1,15	2,06	1,44	1,97	0,66 0,33	0,79 0,53

Análisis realizados por el Departamento de Petrología y Geoquímica Universidad de Salamanca
*Fe Total

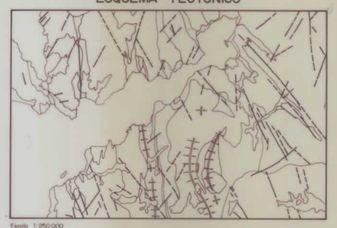
CORTES





Escala 1:50.000

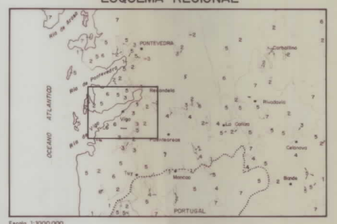
ESQUEMA TECTONICO



Escala 1:250.000

- Depósitos recientes
- Metasedimentos
- Gneis de biotita
- Gneis de riebeckita
- Gneis glandular
- Granitos de dos micas
- Granitoides calcoalcalinos precoces
- Granitoides calcoalcalinos tardíos

ESQUEMA REGIONAL

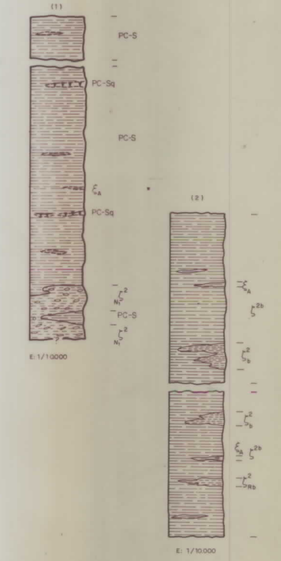


Escala 1:1000.000

1. Depósitos recientes (Terciario y cuaternario)
2. Rocas metamórficas
3. Ortogneises
4. Rocas migmatíticas
5. Granitos de dos micas (Serie alcalina)
6. Granodioritas precoces (Serie calcoalcalina)
7. Granodioritas tardías (Serie calcoalcalina)

COLUMNAS ESTRATIGRAFICAS EN LAS PRINCIPALES UNIDADES O ZONAS

(1) COMPLEJO CABO D' HOME – LA LANZADA
(2) COMPLEJO VIGO – PONTEVEDRA



E: 1/10.000